

С. В. Мельников<sup>1</sup>, В. М. Ткачук<sup>1</sup>, А. М. Грозвав<sup>1</sup>, І. Жілазо<sup>2</sup>, В. А. Сукач<sup>1,2</sup>

<sup>1</sup> Інститут органічної хімії НАН України

02660, м. Київ, вул. Мурманська, 5. Е-mail: melnykov8515@gmail.com

<sup>2</sup> Інститут органічної та аналітичної хімії, Університет Орлеана, Франція

## Синтез 3-арил-3-трифторометил-2,3-дигідро-1Н-пірролізин-1-онів

**Мета роботи** – розробка ефективного методу синтезу 3-арил-3-трифторометил-2,3-дигідро-1Н-пірролізин-1-онів як перспективних сквафолідів для дизайну біоактивних сполук.

**Результати та їх обговорення.** Показано, що конденсація метилових естерів 3-аміно-3-арил-4,4,4-трифторобутанової кислоти з 2,5-диметокситетрагідрофураном є зручним синтетичним підходом до синтезу метилових естерів 4,4,4-трифторо-3-арил-3-(1Н-піррол-1-іл)бутанової кислоти, які за схемою внутрішньомолекулярної реакції Фріделя-Крафтса перетворені на 3-арил-3-трифторометил-2,3-дигідро-1Н-пірролізин-1-они.

**Експериментальна частина.** Взаємодією метилових естерів 3-аміно-4,4,4-трифторо-3-арилбутанової кислоти із 2,5-диметокситетрагідрофураном в оцтовій кислоті при 70 °C отримані метилові естери 4,4,4-трифторо-3-арил-3-(1Н-піррол-1-іл)бутанової кислоти, які при дії броміду бору в дихлорометані при кімнатній температурі циклізуються в 3-арил-3-трифторометил-2,3-дигідро-1Н-пірролізин-1-они. Структура всіх синтезованих сполук доведена методами хроматомас-спектрометрії та ІЧ-, ЯМР (<sup>1</sup>H, <sup>13</sup>C, <sup>19</sup>F)спектроскопії.

**Висновки.** Розроблено ефективний двостадійний варіант синтезу 3-арил-3-трифторометил-2,3-дигідро-1Н-пірролізин-1-онів, який включає перетворення метилових естерів 3-аміно-4,4,4-трифторо-3-арилбутанової кислоти на відповідні 3-(1Н-піррол-1-іл)похідні та їх подальшу селективну внутрішньомолекулярну циклізацію в присутності надлишку броміду бору.

**Ключові слова:** естери 3-аміно-3-арил-4,4,4-трифторо-3-арилбутанової кислоти; 2,5-диметокситетрагідрофуран; 3-арил-3-трифторометил-2,3-дигідро-1Н-пірролізин-1-они; бромід бору; циклоконденсація

**S. V. Melnykov, V. M. Tkachuk, A. M. Grozav, I. Gillaiseau, V. A. Sukach**

**The synthesis of 3-aryl-3-trifluoromethyl-2,3-dihydro-1H-pyrrolizin-1-ones**

**Aim.** To develop the efficient method for the synthesis of 3-aryl-3-trifluoromethyl-2,3-dihydro-1H-pyrrolizin-1-ones as promising scaffolds in design of bioactive compounds.

**Results and discussion.** It has been shown that condensation of 3-amino-3-aryl-4,4,4-trifluorobutanoic acid methyl esters with 2,5-dimethoxytetrahydrofuran is a convenient synthetic approach to 4,4,4-trifluoro-3-aryl-3-(1H-pyrrol-1-yl)methylbutanoic acid methyl esters converted to 3-aryl-3-trifluoromethyl-2,3-dihydro-1H-pyrrolizin-1-ones by the intramolecular Friedel-Crafts reaction.

**Experimental part.** By the interaction of 3-amino-3-aryl-4,4,4-trifluorobutanoic acid methyl esters with 2,5-dimethoxytetrahydrofuran acetic acid at 70 °C 4,4,4-trifluoro-3-aryl-3-(1H-pyrrol-1-yl)methylbutanoic acid methyl esters were obtained and subsequently cyclized into 3-aryl-3-trifluoromethyl-2,3-dihydro-1H-pyrrolizin-1-ones upon treatment with boron tribromide in dichloromethane at room temperature. The structures of the compounds synthesized were confirmed by LCMS, IR and NMR (<sup>1</sup>H, <sup>13</sup>C, <sup>19</sup>F) spectroscopic methods.

**Conclusions.** An efficient two step protocol for the synthesis of 3-aryl-3-trifluoromethyl-2,3-dihydro-1H-pyrrolizin-1-ones has been developed. It includes transformation of 3-amino-3-aryl-4,4,4-trifluorobutanoic acid methyl esters into the corresponding 3-(1H-pyrrol-1-yl) derivatives and their further intramolecular cyclization.

**Key words:** 3-amino-3-aryl-4,4,4-trifluorobutanoic acid esters; 2,5-dimethoxytetrahydrofuran; 3-aryl-3-trifluoromethyl-2,3-dihydro-1H-pyrrolizin-1-ones; boron tribromide; cyclocondensation

**С. В. Мельников, В. Н. Ткачук, А. Н. Грозвав, І. Жілазо, В. А. Сукач**

**Синтез 3-арил-3-трифторометил-2,3-дигідро-1Н-пірролізин-1-онів**

**Цель роботи** – розработка ефективного метода синтеза 3-арил-3-трифторометил-2,3-дигідро-1Н-пірролізин-1-онів як перспективних сквафолідів для дизайну біоактивних веществ.

**Результати и их обсуждение.** Показано, что конденсація метилових ефіров 3-аміно-3-арил-4,4,4-трифторобутанової кислоти з 2,5-диметокситетрагідрофураном являється удобним синтетичним підходом до метиловим ефірам 4,4,4-трифторо-3-арил-3-(1Н-піррол-1-іл)бутанової кислоти, які по схемі внутрішньомолекулярної реакції Фріделя-Крафтса превращені в 3-арил-3-трифторометил-2,3-дигідро-1Н-пірролізин-1-они.

**Експериментальна частина.** Взаємодією метилових ефіров 3-аміно-3-арил-4,4,4-трифторобутанової кислоти з 2,5-диметокситетрагідрофураном в уксусній кислоті при 70 °C отримані метилові ефири 4,4,4-трифторо-3-арил-3-(1Н-піррол-1-іл)бутанової кислоти, які при дії броміда бора в дихлорметане при кімнатній температурі циклізуються в 3-арил-3-трифторометил-2,3-дигідро-1Н-пірролізин-1-они. Структура всіх синтезованих соєдинень доказана методами хроматомас-спектрометрії та ІК-, ЯМР (<sup>1</sup>H, <sup>13</sup>C, <sup>19</sup>F)спектроскопії.

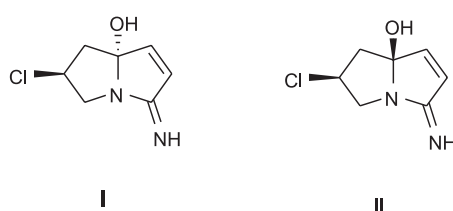
**Выводы.** Разработан эффективный двустадийный вариант синтеза 3-арил-3-трифторометил-2,3-дигідро-1Н-пірролізин-1-онів, который включает превращение ефіров 3-аміно-3-арил-4,4,4-трифторобутанової кислоти в соответствующие 3-(1Н-піррол-1-іл)производные и их дальнейшую селективную внутрішньомолекулярную циклизацию в присутствии избытка броміду бору.

**Ключевые слова:** ефіри 3-аміно-3-арил-4,4,4-трифторобутанової кислоти; 2,5-диметокситетрагідрофуран; 3-арил-3-трифторометил-2,3-дигідро-1Н-пірролізин-1-они; бромід бору; циклоконденсація

Піролізин (піроло[1,2-*a*]пірол) є базовою структурною платформою значної кількості природних та синтетичних біоактивних сполук. Він входить до складу понад 600 алкалоїдів [1], а також є ключовим фрагментом синтетичних речовин з вираженою протипухлинною [2-5], протизапальною [6-8], аналгетичною [9], протидіабетичною [10] та психостимулюючою [11] дією. Серед найважливіших функціональних похідних цього типу сполук, в першу чергу, варто відзначити виділені з мікроорганізмів протипухлинні антибіотики клазаміцин А (І), клазаміцин В (ІІ) [12], а також синтетичні нестероїдні протизапальні засоби лікофенон (ІІІ) та кеторолан (ІV) [7] (схема 1).

Відомо, що фторовані гетероциклічні сполуки характеризуються високою фармакологічною активністю і є важливими субстанціями для створення багатьох лікарських препаратів [13]. У контексті їх дизайну на особливу увагу заслуговує введення трифторметильної групи в  $\alpha$ - положення до атома азоту гетероциклу, що суттєво може позначитись на їх сорбції і транспортуванні всередині біологічних систем [14-17]. При цьому варто відзначити, що інформація, яка стосується  $\text{CF}_3$ -вмісних піролізинів, обмежена всього-на-всього двома публікаціями [18, 19].

Загалом, типові методи синтезу піролізинових сполук базуються на внутрішньомолекулярній циклізації N-1-функціоналізованих [20-24] або C-2-функціоналізованих [25-29] піролів. У ключі першого підходу автори [20] використали реакцію Клауссона-Кааса [30, 31] естерів  $\beta$ -арил- $\beta$ -аміно-карбонових кислот для одержання  $\beta$ -арил- $\beta$ -піролілпропіонатів, які в подальшому були перетворені на 3-арилпіролізин-1-они. Нами з'ясовано, що такий варіант виявився продуктивним і у випадку метилових естерів  $\beta$ -аміно- $\beta$ -арил- $\beta$ -трифторметилкарбонових кислот 2a-e, які були отримані з відповідних їм амінокислот 1a-e [32].



Встановлено, що естери 2a-e, незважаючи на знижену нуклеофільність аміногрупи, викликану акцепторним впливом  $\text{CF}_3$ -групи, взаємодіють із 2,5-диметокситетрагідрофураном 3 в оцтовій кислоті при 70 °C з утворенням метилових естерів  $\beta$ -(N-піроліл)карбонових кислот 4a-e із виходами 75-89 % (схема 2).

Склад синтезованих N-функціонально заміщених піролів 4a-e узгоджується з результатами елементного аналізу та мас-спектрів (табл. 1), а структура доведена спектральними методами. Серед них показовими є спектри ЯМР  $^1\text{H}$ , які містять синглети протонів метиленової групи при 3,47-3,52 м.ч. та два мультиплети протонів пірольного циклу відповідно при 6,13-6,29 та 6,75-6,86 м.ч.

Раніше автори праці [33] показали можливість м'якого циклоацілювання естерною групою положення 2 піролу при використанні броміду бору як каталізатора реакції Фріделя-Крафтса. Такий підхід виявився ефективним і для процесу внутрішньомолекулярної циклізації стерично утруднених піролів 4a-e. Показано, що останні під дією надлишку броміду бору в розчині дихлорометану при кімнатній температурі легко перетворюються на 3-арил-3-трифторметил-2,3-дигідро-1*H*-піролізин 5a-d із виходами 83-92 %. У випадку піролізину 5e, який містить у положенні 3 метокси-фенільний замінник, в умовах реакції під дією  $\text{BBr}_3$  відбувається його диметилування, що приводить до генерування 4-гідроксифенільного замінника і утворення піролізину 5f (схема 3).

Піролізини 5a-d – в'язкі олієподібні речовини, а 5f – кристалічна сполука (табл. 1), в ЯМР  $^1\text{H}$  спектрах яких наявні дві пари дублетів AB-системи діастереотопних метиленових протонів у діапазонах 3,21-3,28 та 3,69-3,75 м.ч. (табл. 2). Анелювання піролідинового циклу до базового пірольного ядра доказово підтверджується спектрами ЯМР  $^{13}\text{C}$  із характерними синглетами атомів C-2 при

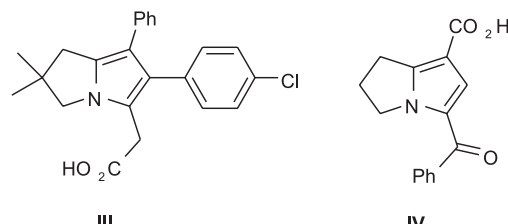
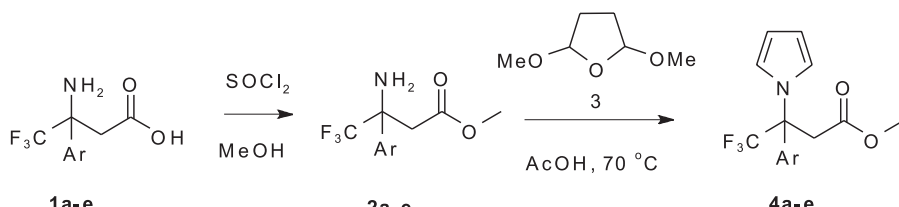


Схема 1



Ar = Ph (a), 4-BrC<sub>6</sub>H<sub>4</sub> (b), 4-MeC<sub>6</sub>H<sub>4</sub> (c), 4-CF<sub>3</sub>C<sub>6</sub>H<sub>4</sub> (d), 4-MeOC<sub>6</sub>H<sub>4</sub> (e)

Схема 2

**Таблиця 1**

Виходи, температури плавлення, мас-спектри та результати  
елементного аналізу сполук **2b-e, 4a-e, 5a-d,f**

Сполука	Вихід, %	Т. пл., °C	[M+1] <sup>+</sup>	Знайдено, %			Формула	Розраховано, %		
				C	H	N		C	H	N
<b>2a</b>	83	олія	248	53,62	4,71	5,73	C <sub>11</sub> H <sub>12</sub> F <sub>3</sub> NO <sub>2</sub>	53,44	4,89	5,67
<b>2b</b>	73	42	326	40,37	3,27	4,16	C <sub>11</sub> H <sub>11</sub> BrF <sub>3</sub> NO <sub>2</sub>	40,51	3,40	4,30
<b>2c</b>	75	31	262	55,05	5,54	5,33	C <sub>12</sub> H <sub>14</sub> F <sub>3</sub> NO <sub>2</sub>	55,17	5,40	5,36
<b>2d</b>	80	олія	316	45,93	3,48	4,22	C <sub>12</sub> H <sub>11</sub> F <sub>6</sub> NO <sub>2</sub>	45,72	3,52	4,44
<b>2e</b>	69	олія	278	51,78	5,15	4,94	C <sub>12</sub> H <sub>14</sub> F <sub>3</sub> NO <sub>3</sub>	51,99	5,09	5,05
<b>4a</b>	87	олія	298	60,75	4,66	4,53	C <sub>15</sub> H <sub>14</sub> F <sub>3</sub> NO <sub>2</sub>	60,60	4,75	4,71
<b>4b</b>	82	олія	376	47,98	3,39	3,83	C <sub>15</sub> H <sub>13</sub> BrF <sub>3</sub> NO <sub>2</sub>	47,89	3,48	3,72
<b>4c</b>	83	олія	312	61,58	5,09	4,71	C <sub>16</sub> H <sub>16</sub> F <sub>3</sub> NO <sub>2</sub>	61,73	5,18	4,50
<b>4d</b>	75	олія	366	52,85	3,70	3,78	C <sub>16</sub> H <sub>13</sub> F <sub>6</sub> NO <sub>2</sub>	52,61	3,59	3,83
<b>4e</b>	89	олія	328	58,93	4,85	4,42	C <sub>16</sub> H <sub>16</sub> F <sub>3</sub> NO <sub>3</sub>	58,71	4,93	4,28
<b>5a</b>	83	олія	266	63,23	3,73	5,25	C <sub>14</sub> H <sub>10</sub> F <sub>3</sub> NO	63,40	3,80	5,28
<b>5b</b>	88	олія	344	48,99	2,52	4,14	C <sub>14</sub> H <sub>9</sub> BrF <sub>3</sub> NO	48,86	2,64	4,07
<b>5c</b>	92	олія	280	64,68	4,23	5,06	C <sub>15</sub> H <sub>12</sub> F <sub>3</sub> NO	64,51	4,33	5,02
<b>5d</b>	87	олія	334	54,19	2,66	4,38	C <sub>15</sub> H <sub>9</sub> F <sub>6</sub> NO	54,07	2,72	4,20
<b>5f</b>	77	128-129	282	59,61	3,60	4,87	C <sub>14</sub> H <sub>10</sub> F <sub>3</sub> NO <sub>2</sub>	59,79	3,58	4,98

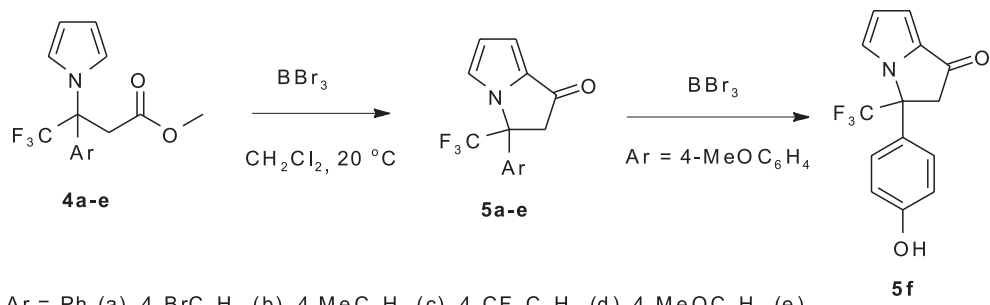


Схема 3

**Таблиця 2**

Дані спектрів ІЧ та ЯМР <sup>1</sup>H сполук **2b-e, 4a-e, 5a-d,f**

Сполука	ІЧ-спектр, v, см <sup>-1</sup> , C=O	ЯМР <sup>1</sup> Hспектр, δ, м.ч. (J, Гц)
1	2	3
<b>2a</b>	1734	2,37 с (2H, NH <sub>2</sub> ), 3,00 д (1H, CH <sub>Ar</sub> , J = 15,7), 3,27 д (1H, CH <sub>B</sub> , J = 15,7), 3,60 с (3H, CH <sub>3</sub> ), 7,30-7,46 (3H <sub>аром</sub> ), 7,62 д (2H <sub>аром</sub> , J = 7,5)
<b>2b</b>	1733	2,31 с (2H, NH <sub>2</sub> ), 2,92 д (1H, CH <sub>2</sub> , J = 15,8), 3,20 д (1H, CH <sub>2</sub> , J = 15,8), 3,57 с (3H, CH <sub>3</sub> ), 7,41-7,54 м (4H <sub>аром</sub> )
<b>2c</b>	1735	2,33 ш.с (5H, CH <sub>3</sub> +NH <sub>2</sub> ), 2,94 д (1H, CH <sub>2</sub> , J = 15,8), 3,22 д (1H, CH <sub>2</sub> , J = 15,8), 3,56 с (3H, CH <sub>3</sub> ), 7,18 д (2H <sub>аром</sub> , J = 8,4), 7,46 д (2H <sub>аром</sub> , J = 8,4)
<b>2d</b>	1738	2,30 с (2H, NH <sub>2</sub> ), 2,92 д (1H, CH <sub>2</sub> , J = 15,8), 3,20 д (1H, CH <sub>2</sub> , J = 15,8), 3,78 с (3H, OCH <sub>3</sub> ), 6,88 д (2H <sub>аром</sub> , J = 8,4), 7,48 д (2H <sub>аром</sub> , J = 8,4)
<b>2e</b>	1736	2,36 с (2H, NH <sub>2</sub> ), 3,01 д (1H, CH <sub>2</sub> , J = 15,9), 3,29 д (1H, CH <sub>2</sub> , J = 15,9), 3,60 с (3H, OCH <sub>3</sub> ), 3,76 с (3H, OCH <sub>3</sub> ), 7,66 д (2H <sub>аром</sub> , J = 8,2), 7,76 д (2H <sub>аром</sub> , J = 8,2)
<b>4a</b>	1740	3,53 с (2H, CH <sub>2</sub> ), 3,56-3,60 м (3H, CH <sub>3</sub> ), 6,24-6,29 м (2H <sub>нірон</sub> ), 6,83-6,86 м (2H <sub>нірон</sub> ), 7,33-7,37 м (2H <sub>аром</sub> ), 7,41-7,50 м (3H <sub>аром</sub> )

## Продовження табл. 2

1	2	3
<b>4b</b>	1743	3,47 с (2H, CH <sub>2</sub> ), 3,52 с (3H, CH <sub>3</sub> ), 6,13-6,32 м (2H <sub>ніпол</sub> ), 6,76-6,80 м (2H <sub>ніпол</sub> ), 7,18 д (2H <sub>аром</sub> , J = 8,5), 7,50 д (2H <sub>аром</sub> , J = 8,5)
<b>4c</b>	1744	2,39 с (3H, CH <sub>3</sub> ), 3,51 с (2H, CH <sub>2</sub> ), 3,55 с (3H, CH <sub>3</sub> ), 6,21-6,28 м (2H <sub>ніпол</sub> ), 6,80-6,84 м (2H <sub>ніпол</sub> ), 7,19-7,30 м (4H <sub>аром</sub> )
<b>4d</b>	1745	3,55 ш.с (5H, CH <sub>3</sub> +CH <sub>2</sub> ), 6,25-6,28 м (2H <sub>ніпол</sub> ), 6,81-6,84 м (2H <sub>ніпол</sub> ), 7,48 (2H <sub>аром</sub> , J = 8,2), 7,67 (2H <sub>аром</sub> , J = 8,8)
<b>4e</b>	1710	3,49 с (2H, с), 3,54 с (3H, CH <sub>3</sub> ), 3,84 с (3H, CH <sub>3</sub> ), 6,23-6,27 м (2H <sub>ніпол</sub> ), 6,81-6,84 м (2H <sub>ніпол</sub> ), 6,91 д (2H <sub>аром</sub> , J = 9,3), 7,23-7,33 м (2H <sub>аром</sub> )
<b>5a</b>	1704	3,25 д (1H, CH <sub>A</sub> , J = 17,8), 3,73 д (1H, CH <sub>B</sub> , J = 17,8), 6,69 д (1H <sub>аром</sub> , J = 2,6), 6,90 д (1H <sub>аром</sub> , J = 2,6), 7,18 с (1H <sub>аром</sub> ), 7,21-7,31 м (2H <sub>аром</sub> ), 7,41 д (3H <sub>аром</sub> , J = 7,2)
<b>5b</b>	1706	3,20 д (1H, CH <sub>A</sub> , J = 18,1), 3,72 д (1H, CH <sub>B</sub> , J = 18,1), 6,67-6,73 (1H), 6,91 д (1H <sub>аром</sub> , J = 3,8), 7,10 д (2H <sub>аром</sub> , J = 8,8), 7,15 с (1H <sub>аром</sub> ), 7,54 (2H <sub>аром</sub> , J = 8,8)
<b>5c</b>	1709	2,34 с (3H, CH <sub>3</sub> ), 3,21 д (1H, CH <sub>A</sub> , J = 18,1), 3,69 д (1H, CH <sub>B</sub> , J = 18,1), 6,64-6,67 м (1H <sub>аром</sub> ), 6,80-6,91 м (1H <sub>аром</sub> ), 7,05-7,23 м (5H <sub>аром</sub> )
<b>5d</b>	1705	3,22 д (1H, CH <sub>A</sub> , J = 18,1), 3,76 д (1H, CH <sub>B</sub> , J = 18,1), 6,69-6,76 м (1H <sub>аром</sub> ), 6,86-6,96 м (1H <sub>аром</sub> ), 7,10-7,20 м (1H <sub>аром</sub> ), 7,37 д (2H <sub>аром</sub> , J = 8,2), 7,69 д (2H <sub>аром</sub> , J = 8,23)
<b>5f</b>	1706	3,25 д (1H, CH <sub>A</sub> , J = 18,1), 3,75 д (1H, CH <sub>B</sub> , J = 18,1), 6,69 с (1H <sub>аром</sub> ), 6,81-6,99 м (3H <sub>аром</sub> ), 7,08 д (2H <sub>аром</sub> , J = 8,2), 7,21 с (1H <sub>аром</sub> ). Протони групи OH знаходяться в обміні з молекулами води дейтеророзчинника.

51,34-51,72 м.ч., С-1 при 184,69-185,16 м.ч., а також квартетами атомів С-3 при 67,51-68,11 м.ч. із КССВ 27-30 Гц за рахунок розщеплення на атомах фтору групи CF<sub>3</sub> (табл. 3).

Наявність у структурі синтезованих сполук піролідонового ядра із синтетично привабливим метиленкарбонільним фрагментом створює сприятливі умови для їх спрямованої модифікації різноманітними біофорними ациклічними та гетероциклічними угрупованнями, що буде предметом подальшого дослідження.

### Експериментальна хімічна частина

ІЧ-спектри сполук у таблетках або в пластинах KBr записані на приладі Bruker Vertes 70. Спектри ЯМР <sup>1</sup>H одержані на спектрометрі Varian VXR-400 (399,97 МГц) в імпульсному Фур'є-режимі у розчинах CDCl<sub>3</sub>, спектри <sup>13</sup>C отримані на спектрометрі Varian VXR-400 (125,74 МГц) в імпульсному Фур'є-режимі у розчинах CDCl<sub>3</sub>, внутрішній стандарт ТМС. Хроматомас-спектри одержані на приладі Agilent LC/MSD SL; колонка Zorbax SB-C18, 4,6 × 15 мм, 1,8 мкм (PN 82(c) 75-932); розчинник ДМСО, іонізація електророзпіленням при атмосферному тиску. Елементний аналіз здійснений на приладі PerkinElmer CHN Analyzer серії 2400 в аналітичній лабораторії Інституту органічної хімії НАН України. Температури плавлення визначені на столику Кофлера і невідкореговані.

**Метил 3-аміно-3-арил-4,4,4-трифторобутаноати 2a-e.** До розчину 3 ммоль амінокислоти 1a-e в 10 мл сухого метанолу додавали при перемішуванні по краплях при 0 °C 0,90 г (7,5 ммоль) тіонілхлориду і перемішували впродовж 4 год при 50 °C. Реакційну суміш упарювали, до залишку додавали 15 мл води, промивали 5 мл дихлорометану, нетралізували водним 1M розчином NaHCO<sub>3</sub>, екстрагували дихлорометаном (2 × 10 мл). Органічний шар сушили над безводним Na<sub>2</sub>SO<sub>4</sub> та упарювали.

**Метил 3-арил-4,4,4-трифторо-3-(1Н-пірол-1-іл)бутаноати 4a-e.** До розчину 2,5 ммоль естера 2a-e в 10 мл оцтової кислоти додавали 0,33 г (2,5 ммоль) 2,5-диметокситетрагідрофурану та перемішували впродовж 6 год при 70 °C. Реакційну суміш упарювали, до залишку додавали 15 мл водного 1M розчину NaHCO<sub>3</sub> та екстрагували дихлорометаном (3 × 10 мл). Органічний шар промивали водою (2 × 10 мл), сушили над безводним Na<sub>2</sub>SO<sub>4</sub> і випарювали.

**3-Арил-3-(трифторометил)-2,3-дигідро-1Н-піролізин-1-они 5a-d,f.** До розчину 2,76 г (11 ммоль) BBr<sub>3</sub> в 10 мл сухого дихлорометану при 0 °C додавали при перемішуванні розчин 2 ммоль сполуки 4a-e в 5 мл сухого дихлорометану. Реакційну суміш перемішували впродовж 6 год при 20 °C, виливали на 10 г льоду, органічний шар проми-

**Таблиця 3**

Дані спектрів ЯМР  $^{19}\text{F}$  та ЯМР  $^{13}\text{C}$  сполук **2b-e, 4a-e, 5a-d,f**

Сполука	ЯМР $^{19}\text{F}$ спектр, $\delta$ , м.ч.	ЯМР $^{13}\text{C}$ спектр, $\delta$ , м.ч. ( $J$ , Гц)
<b>2a</b>	-79,01	40,42 (OMe), 51,90 (C-2), 60,72 $\kappa$ (C-3, $^2J_{\text{C-F}} = 26,2$ ), 126,09 $\kappa$ ( $\text{CF}_3$ , $^1J_{\text{C-F}} = 286,0$ ), 126,71 ( $\text{C}_{\text{апом}}$ ), 128,38 ( $\text{C}_{\text{апом}}$ ), 128,51 ( $\text{C}_{\text{апом}}$ ), 137,32 ( $\text{C}_{\text{апом}}$ ), 170,03 (C=O)
<b>2b</b>	-79,08	40,35 (OMe), 52,02 (C-2), 60,55 $\kappa$ (C-3, $^2J_{\text{C-F}} = 31,5$ ), 122,97 ( $\text{C}_{\text{апом}}$ ), 127,15 $\kappa$ ( $\text{CF}_3$ , $^1J_{\text{C-F}} = 284,6$ ), 128,59 ( $\text{C}_{\text{апом}}$ ), 131,58 ( $\text{C}_{\text{апом}}$ ), 136,38 ( $\text{C}_{\text{апом}}$ ), 169,79 (C=O)
<b>2c</b>	-79,63	20,93 (Me), 40,37 (OMe), 51,83 (C-2), 60,49 $\kappa$ (C-3, $^2J_{\text{C-F}} = 26,1$ ), 126,25 $\kappa$ ( $\text{CF}_3$ , $^1J_{\text{C-F}} = 285,1$ ), 126,53 ( $\text{C}_{\text{апом}}$ ), 129,12 ( $\text{C}_{\text{апом}}$ ), 134,31 ( $\text{C}_{\text{апом}}$ ), 138,28 ( $\text{C}_{\text{апом}}$ ), 170,09 (C=O)
<b>2d</b>	-78,86, -62,83	40,35 (OMe), 52,04 (C-2), 60,76 $\kappa$ (C-3, $^2J_{\text{C-F}} = 29,1$ ), 124,10 $\kappa$ ( $\text{CF}_3$ , $^1J_{\text{C-F}} = 274,1$ ), 125,35 $\kappa$ ( $\text{C}_{\text{апом}}$ , $^3J_{\text{C-F}} = 4,0$ ), 125,39 $\kappa$ ( $\text{CF}_3$ , $^1J_{\text{C-F}} = 285,1$ ), 127,33 ( $\text{C}_{\text{апом}}$ ), 130,75 $\kappa$ ( $\text{C}_{\text{апом}}$ , $^2J_{\text{C-F}} = 33,1$ ), 141,26 ( $\text{C}_{\text{апом}}$ ), 169,66 (C=O)
<b>2e</b>	-79,34	40,45 (OMe), 51,84 (C-2), 55,17 ( $\text{C}_6\text{H}_4\text{OMe}$ ), 60,30 $\kappa$ (C-3, $^2J_{\text{C-F}} = 28,1$ ), 113,69 ( $\text{C}_{\text{апом}}$ ), 126,11 $\kappa$ ( $\text{CF}_3$ , $^1J_{\text{C-F}} = 285,1$ ), 127,96 ( $\text{C}_{\text{апом}}$ ), 129,13 ( $\text{C}_{\text{апом}}$ ), 159,55 ( $\text{C}_{\text{апом}}$ ), 170,08 (C=O)
<b>4a</b>	-71,25	40,53 (OMe), 52,10 (C-2), 68,50 $\kappa$ (C-3, $^2J_{\text{C-F}} = 27,1$ ), 108,90 ( $\text{C}_{\text{апом}}$ ), 121,63 ( $\text{C}_{\text{апом}}$ ), 125,00 $\kappa$ ( $\text{CF}_3$ , $^1J_{\text{C-F}} = 289,1$ ), 127,68 ( $\text{C}_{\text{апом}}$ ), 128,32 ( $\text{C}_{\text{апом}}$ ), 129,11 ( $\text{C}_{\text{апом}}$ ), 135,65 ( $\text{C}_{\text{апом}}$ ), 167,61 (C=O)
<b>4b</b>	-72,01	40,20 (OMe), 52,23 (C-2), 68,19 $\kappa$ (C-3, $^2J_{\text{C-F}} = 27,1$ ), 109,22 ( $\text{C}_{\text{апом}}$ ), 121,47 ( $\text{C}_{\text{апом}}$ ), 123,59 ( $\text{C}_{\text{апом}}$ ), 124,36 $\kappa$ ( $\text{CF}_3$ , $^1J_{\text{C-F}} = 289,0$ ), 129,51 ( $\text{C}_{\text{апом}}$ ), 131,51 ( $\text{C}_{\text{апом}}$ ), 134,68 ( $\text{C}_{\text{апом}}$ ), 167,44 (C=O)
<b>4c</b>	-71,44	21,05 (Me), 40,43 (OMe), 52,10 (C-2), 68,32 $\kappa$ (C-3, $^2J_{\text{C-F}} = 28,1$ ), 108,77 ( $\text{C}_{\text{апом}}$ ), 121,58 ( $\text{C}_{\text{апом}}$ ), 125,02 $\kappa$ ( $\text{CF}_3$ , $^1J_{\text{C-F}} = 290,1$ ), 127,64 ( $\text{C}_{\text{апом}}$ ), 129,00 ( $\text{C}_{\text{апом}}$ ), 132,49 ( $\text{C}_{\text{апом}}$ ), 139,07 ( $\text{C}_{\text{апом}}$ ), 167,72 (C=O)
<b>4d</b>	-71,36, -62,97	40,23 (OMe), 52,24 (C-2), 68,18 $\kappa$ (C-3, $^2J_{\text{C-F}} = 28,1$ ), 109,42 ( $\text{C}_{\text{апом}}$ ), 121,45 ( $\text{C}_{\text{апом}}$ ), 123,65 $\kappa$ ( $\text{CF}_3$ , $^1J_{\text{C-F}} = 273,1$ ), 125,39 $\kappa$ ( $\text{CF}_3$ , $^1J_{\text{C-F}} = 286,1$ ), 128,32 ( $\text{C}_{\text{апом}}$ ), 131,29 $\kappa$ ( $\text{C}_{\text{апом}}$ , $^2J_{\text{C-F}} = 33,1$ ), 139,66 ( $\text{C}_{\text{апом}}$ ), 167,30 (C=O)
<b>4e</b>	-71,63	40,42 (OMe), 52,11 (C-2), 55,26 ( $\text{C}_6\text{H}_4\text{OMe}$ ), 68,11 $\kappa$ (C-3, $^2J_{\text{C-F}} = 27,1$ ), 108,79 ( $\text{C}_{\text{апом}}$ ), 113,57 ( $\text{C}_{\text{апом}}$ ), 121,54 ( $\text{C}_{\text{апом}}$ ), 125,02 $\kappa$ ( $\text{CF}_3$ , $^1J_{\text{C-F}} = 285,1$ ), 127,18 ( $\text{C}_{\text{апом}}$ ), 129,19 ( $\text{C}_{\text{апом}}$ ), 159,89 ( $\text{C}_{\text{апом}}$ ), 167,75 (C=O)
<b>5a</b>	-74,87	51,58 (C-2), 67,84 $\kappa$ (C-3, $^2J_{\text{C-F}} = 28,9$ ), 109,03 ( $\text{C}_{\text{апом}}$ ), 118,13 ( $\text{C}_{\text{апом}}$ ), 124,06 ( $\text{C}_{\text{апом}}$ ), 125,11 $\kappa$ ( $\text{CF}_3$ , $^1J_{\text{C-F}} = 284,2$ ), 125,96 ( $\text{C}_{\text{апом}}$ ), 129,27 ( $\text{C}_{\text{апом}}$ ), 129,43 ( $\text{C}_{\text{апом}}$ ), 133,94 ( $\text{C}_{\text{апом}}$ ), 135,96 ( $\text{C}_{\text{апом}}$ ), 184,69 (C=O)
<b>5b</b>	-74,42	51,34 (C-2), 67,51 $\kappa$ (C-3, $^2J_{\text{C-F}} = 27,1$ ), 109,25 ( $\text{C}_{\text{апом}}$ ), 118,43 ( $\text{C}_{\text{апом}}$ ), 124,20 $\kappa$ ( $\text{CF}_3$ , $^1J_{\text{C-F}} = 283,1$ ), 123,80 ( $\text{C}_{\text{апом}}$ ), 127,37 ( $\text{C}_{\text{апом}}$ ), 132,47 ( $\text{C}_{\text{апом}}$ ), 133,87 ( $\text{C}_{\text{апом}}$ ), 135,03 ( $\text{C}_{\text{апом}}$ ), 184,69 (C=O)
<b>5c</b>	-75,05	20,98 (Me), 51,60 (C-2), 67,70 $\kappa$ (C-3, $^2J_{\text{C-F}} = 29,1$ ), 108,95 ( $\text{C}_{\text{апом}}$ ), 118,02 ( $\text{C}_{\text{апом}}$ ), 124,85 $\kappa$ ( $\text{CF}_3$ , $^1J_{\text{C-F}} = 285,1$ ), 124,04 ( $\text{C}_{\text{апом}}$ ), 125,55 ( $\text{C}_{\text{апом}}$ ), 129,87 ( $\text{C}_{\text{апом}}$ ), 132,94 ( $\text{C}_{\text{апом}}$ ), 133,88 ( $\text{C}_{\text{апом}}$ ), 139,47 ( $\text{C}_{\text{апом}}$ ), 184,84 (C=O)
<b>5d</b>	-74,67, 63,59	51,25 (C-2), 67,57 $\kappa$ (C-3, $^2J_{\text{C-F}} = 31,1$ ), 109,42 ( $\text{C}_{\text{апом}}$ ), 118,62 ( $\text{C}_{\text{апом}}$ ), 124,15 $\kappa$ ( $\text{CF}_3$ , $^1J_{\text{C-F}} = 272,1$ ), 125,67 $\kappa$ ( $\text{CF}_3$ , $^1J_{\text{C-F}} = 284,1$ ), 126,25 ( $\text{C}_{\text{апом}}$ ), 126,33 ( $\text{C}_{\text{апом}}$ ), 131,79 $\kappa$ ( $\text{C}_{\text{апом}}$ , $^2J_{\text{C-F}} = 33,1$ ), 133,89 ( $\text{C}_{\text{апом}}$ ), 139,87 ( $\text{C}_{\text{апом}}$ ), 183,79 (C=O)
<b>5f</b>	-74,80	51,72 (C-2), 67,63 $\kappa$ (C-3, $^2J_{\text{C-F}} = 30,1$ ), 109,82 ( $\text{C}_{\text{апом}}$ ), 116,12 ( $\text{C}_{\text{апом}}$ ), 118,44 ( $\text{C}_{\text{апом}}$ ), 124,77 $\kappa$ ( $\text{CF}_3$ , $^1J_{\text{C-F}} = 286,1$ ), 124,79 ( $\text{C}_{\text{апом}}$ ), 127,13 ( $\text{C}_{\text{апом}}$ ), 127,21 ( $\text{C}_{\text{апом}}$ ), 133,59 ( $\text{C}_{\text{апом}}$ ), 156,99 ( $\text{C}_{\text{апом}}$ ), 185,96 (C=O)

вали водою ( $3 \times 10$  мл), сушили над безводним  $\text{Na}_2\text{SO}_4$  і випарювали.

**Висновки**

Розроблено ефективний двостадійний варіант синтезу біологічно привабливих 3-арил-3-трифторметил-2,3-дигідро-1*H*-піролізин-1-онів,

який передбачає послідовне перетворення метилових естерів  $\beta$ -аміно- $\beta$ -арил- $\beta$ -трифторметилкарбонових кислот під дією 2,5-диметокситетрагідрофурану на метилові естери  $\beta$ -(*N*-піроліл)карбонових кислот та їх подальшу внутрішньомолекулярну циклізацію, промотовану бромідом бору.

**Конфлікт інтересів:** відсутній.

## Перелік використаних джерел інформації

1. Smit, L. W. Plant sources of hepatotoxic pyrrolizidine alkaloids / L. W. Smith, C. C. J. Culvenor // *J. Nat. Prod.* – 1981. – Vol. 44, Issue 2. – P. 129–152. <https://doi.org/10.1021/np50014a001>
2. Belal, A. Pyrrolizines: promising scaffolds for anticancer drugs / A. Belal, El-Gendy Bel-D // *Bioorg. Med. Chem.* – 2014. – Vol. 22, Issue 1. – P. 46–53. <https://doi.org/10.1016/j.bmc.2013.11.040>
3. Jarosinski, M. A. Synthesis, chemical reactivity, and antitumor evaluation of congeners of carmethylizole hydrochloride, an experimental acylated vinylogous carbinolamine tumor inhibitor / M. A. Jarosinski, P. S. Reddy, W. K. Anderson // *J. Med. Chem.* – 1993. – Vol. 36, Issue 23. – P. 3618–3627. <https://doi.org/10.1021/jm00075a017>
4. DNA-directed alkylating agents. 7. Synthesis, DNA interaction, and antitumor activity of bis(hydroxymethyl)- and bis(carbamate)-substituted pyrrolizines and imidazoles / G. J. Atwell, J.-Y. Fan, K. Tan et al. // *J. Med. Chem.* – 1998. – Issue 41. – P. 4744–4754. <https://doi.org/10.1021/jm9803119>
5. Arylpyrrolizines as inhibitors of microsomal prostaglandin E2 synthase-1 (mPGES-1) or as dual inhibitors of mPGES-1 and 5-lipoxygenase (5-LOX) / A. J. Liedtke, P. R. W. E. F. Keck, F. Lehmannetal et al. // *J. Med. Chem.* – 2009. – Vol. 52, Issue 15. – P. 4968–4972. <https://doi.org/10.1021/jm900481c>
6. (6,7-Diaryldihydropyrrolizin-5-yl)acetic acids, a novel class of potent dual inhibitors of both cyclooxygenase and 5-lipoxygenase / S. A. Laufer, J. Augustin, G. Dannhardtetal et al. // *J. Med. Chem.* – 1994. – Vol. 37, Issue 12. – P. 1894–1897. <https://doi.org/10.1021/jm00038a021>
7. Novel substituted and fused pyrrolizine derivatives: synthesis, anti-inflammatory and ulcerogenicity studies / S. E. Abbas, F. M. Awadallah, N. A. Ibrahim et al. // *Eur. J. Med. Chem.* – 2010. – Vol. 45, Issue 12. – P. 482–491. <https://doi.org/10.1016/j.ejmech.2009.10.031>
8. Barsoum, F. F. Synthesis and molecular modeling studies of anti-inflammatory active 1H-pyrrolizine-5-carboxamides / F. F. Barsoum // *Arch. Pharm.* – 2010. – Vol. 344, Issue 1. – P. 56–65. <https://doi.org/10.1002/ardp.201000166>
9. Synthesis of 5-aryl-1,2-dihydro-1-pyrrolizinones / H. Yu, F. Wang, S. F. Zhang // *Chin. Chem. Lett.* – 2003. – Vol. 14, Issue 6. P. 565–568.
10. Ritthiwigrom, T. Synthesis of polyhydroxylated pyrrolizidine and indolizidine compounds and their glycosidase inhibitory activities / T. Ritthiwigrom, R. J. Nash., S. G. Pyne // *Tetrahedron*. – 2010. – Vol. 66, Issue 48. – P. 9340–9347. <https://doi.org/10.1016/j.tet.2010.10.008>
11. Synthesis and preliminary study of psychotropic effect of alkylamino and imino pyrrolo[1,2-a]indoles / S. Rault, J. C. Lancelot, L. Bouyazza et al. // *Eur. J. Med. Chem.* – 1991. – Vol. 26, Issue 9. – P. 939–946. DOI: [https://doi.org/10.1016/0223-5234\(91\)90136-b](https://doi.org/10.1016/0223-5234(91)90136-b)
12. Buechter, D. D. Studies on the pyrrolizidine antitumor agent, clazamycin: interconversion of clazamycins A and B / D. D. Buechter, D. E Thurston // *J. Nat. Prod.* – 1987. – Vol. 50, Issue 3. – P. 360–367. <https://doi.org/10.1021/np50051a004>
13. Fluorine in pharmaceutical industry : fluorine-containing drugs introduced to the market in the last Ddecade (2001–2011) / J. Wang, M. Sánchez-Roselló, J. L. Aceña et al. // *Chem. Rev.* – 2014. – Vol. 114, Issue 4. – P. 2432–2506. <https://doi.org/10.1021/cr4002879>
14. Schierlinger, C. Peptide modification by introduction of  $\alpha$ -trifluoromethyl  $\alpha$ -amino acids via 4-trifluoromethyl-1,3-oxazolidin-2,5-diones / C. Schierlinger, K. Burger // *Tetrahedron Lett.* – 1992. – Vol. 33, Issue 2. – P. 193–194. [https://doi.org/10.1016/0040-4039\(92\)88047-9](https://doi.org/10.1016/0040-4039(92)88047-9)
15. A novel nucleoside phosphoramidite synthon derived from 1R, 2S-ephedrine / R. P. Iyer, D. Yu, N.-H. Ho et al. // *Tetrahedron: Asymmetry*. – 1995. – Vol. 6, Issue 5. – P. 1051–1054. DOI: [https://doi.org/10.1016/0957-4166\(95\)00122-6](https://doi.org/10.1016/0957-4166(95)00122-6)
16. Chandra Sheker Reddy, A. Fluoro organics : facile syntheses of novel 2- or 4-trifluoromethyl-1H-arylo-1,5-diazepines, oxazepines, thiazepines, 2-(1,1,1-trifluoroacetyl)imidazoles, oxazoles and thiazoles / A. Chandra Sheker Reddy, P. Shanthan Rao, R. Venkataratnam // *Tetrahedron*. – 1997. – Vol. 53, Issue 16. – P. 5847–5854. [https://doi.org/10.1016/s0040-4020\(97\)00244-5](https://doi.org/10.1016/s0040-4020(97)00244-5)
17. Synthesis of 2-trifluoromethyl-2,3,4,5-tetrahydro-1H-3-benzazepine derivatives / M. Kawase, M. Niwa, M. Nozaki et al. // *Heterocycles*. – 1998. – Vol. 48, Issue 3. – P. 555–560. <https://doi.org/10.3987/com-97-8090>
18. Synthesis of dimethyl 1-(trifluoromethyl)-3H-pyrrolizine-2,3-dicarboxylate using phosphorus compounds / M. Kalantari, M. Reza Islami, Z. Hassani et al. // *Arkivoc*. – Issue X. – P. 55–62. <https://doi.org/10.3998/ark.5550190.0007.a07>
19. Semenov, V. V. Oligomerization in the reaction of acetylacetone with organic diisocyanates / V. V. Semenov, N. V. Zolotareva, A. Y. Dolgonosova // *Russ. J. Org. Chem.* – 2009. – Vol. 45, Issue 6. – P. 936–938. DOI: <https://doi.org/10.1134/s1070428009060232>
20. New aromatase inhibitors. Synthesis and biological activity of aryl-substituted pyrrolizidine and indolizidine derivatives / P. Sonnet, P. Dallemande, J. Guillot et al. // *Bioorg. Med. Chem.* – 2009. – Vol. 8, Issue 5. – P. 945–955. [https://doi.org/10.1016/s0968-0896\(09\)00024-9](https://doi.org/10.1016/s0968-0896(09)00024-9)
21. A new approach to the synthesis of pyrrolizines: a one-pot procedure from 2H-pyrroles / P. F. Belloir, A. Laurent, P. Mison et al. // *Synthesis*. – 1986. – Issue 08. – P. 683–686. <https://doi.org/10.1055/s-1986-31750>
22. Synthesis of chiral pyrrolo[1,2-c]thiazoles via intramolecular dipolar cycloaddition of münchnones : an interesting rearrangement to Pyrrolo[1,2-c]thiazines / T. M. V. D. Pinho e Melo, M. I. L. Soares, J. A. Paixão et al. // *J. Org. Chem.* – 2002. – Vol. 67, Issue 12. – P. 4045–4054. <https://doi.org/10.1021/jo010807p>
23. Yavari, I. Efficient synthesis of 5,6,7-trisubstituted 1H-pyrrolizines / I. Yavari, M. Adib // *Tetrahedron*. – 2001. – Vol. 57, Issue 27. – P. 5873–5878. [https://doi.org/10.1016/s0040-4020\(01\)00525-7](https://doi.org/10.1016/s0040-4020(01)00525-7)
24. Tasgin, D. I. Ring annulation versus alkylation of pyrrole with  $\alpha$ -phosphoryl- $\alpha,\beta$ -unsaturated ketones / D. I. Tasgin, C. Unaleroglu // *Tetrahedron*. – 2016. – Vol. 72, Issue 39. – P. 5934–5942. <https://doi.org/10.1016/j.tet.2016.08.045>
25. Synthesis of pyrrolizin-3-ones by flash vacuum pyrolysis of pyrrol-2-ylmethyldiene Meldrum's acid derivatives and 3-(pyrrol-2-yl)propenoic ester / E. S. Campbell, C. M. Comer, A. P. Derbyshire et al. // *J. Chem. Soc., Perkin Trans. 1*. – 1997. – Vol. 1, Issue 15. – P. 2195–2202. <https://doi.org/10.1039/a701749i>
26. An efficient synthetic route for pyrrolizinone synthesis through functionalized C-Alkylpyrroles / C. Unaleroglu, D. I. Tasgin, S. Aytac et al. // *Synthesis*. – 2009. – Issue 19. – P. 3243–3250. <https://doi.org/10.1055/s-0029-1216951>
27. Tasgin, D. I. Michael addition of N-heteroaromatics to vinylphosphonates and synthesis of phosphoryl pyrrolizones by cyclization of Michael adducts / D. I. Tasgin, C. Unaleroglu // *Synthesis*. – 2013. – Issue 02. – P. 193–198. <https://doi.org/10.1055/s-0032-1317894>
28. Tandem radical-electrophilic annulations to pyrrole / J. H. Byers, A. De Witt, C. G. Nasveschuk et al. // *Tetrahedron Lett.* – 2004. – Vol. 45, Issue 35. – P. 6587–6590. <https://doi.org/10.1016/j.tetlet.2004.07.037>
29. Unaleroglu, C. Gadolinium triflate catalyzed alkylation of pyrroles : efficient synthesis of 3-oxo-2,3-dihydro-1H-pyrrolizine derivatives / C. Unaleroglu, A. Yazici // *Tetrahedron*. – 2007. – Vol. 63, Issue 25. – P. 5608–5613. <https://doi.org/10.1016/j.tet.2007.04.018>
30. Clauson-Kaas, N. Preparation of cis- and trans 2,5-dimethoxy-2-(acetamidomethyl)-2,5-dihydrofuran, of cis- and trans 2,5-dimethoxy-2-(acetamidomethyl)-tetrahydrofuran and of 1-phenyl-2-(acetamidomethyl)-pyrrole / N. Clauson-Kaas, Z. Tyle // *Acta Chem. Scand.* – 1952. – Vol. 6. – P. 667–670. <https://doi.org/10.3891/acta.chem.scand.06-0667>
31. The Preparation of pyrroles from furans / N. Clauson-Kaas N. Elming et al. // *Acta Chem. Scand.* – 1952. – Vol. 6. – P. 867–874. <https://doi.org/10.3891/acta.chem.scand.06-0867>
32. Синтез 3-амино-3-феніл-4,4,4-трифторомасляної кислоти ( $\beta$ -трифторметил- $\beta$ -феніл- $\beta$ -аланіна) / М. Е. Колычева, І. І. Герус, Ю. Л. Ягупольский, В. П. Кухарь // Журн. орг. химии. – 1991. – Т. 27, Вип. 1. – С. 117–121.
33. Jefford, C. W. Short, enantiospecific syntheses of indolizidines 209 B and 209 D, and piclavine A from diethyl-L-glutamate / C. W. Jefford, K. Sienkiewicz, S. R. Thornton // *Helv. Chim. Acta*. – 1995. – Vol. 78, Issue 6. – P. 1511–1524. <https://doi.org/10.1002/hlca.19950780610>

## References

- Smith, L. W., Culvenor, C. C. J. (1981). Plant sources of hepatotoxic pyrrolizidine alkaloids. *Journal of Natural Products*, 44 (2), 129–152. <https://doi.org/10.1021/np50014a001>
- Belal, A., El-Gendy Bel-D. (2014). Pyrrolizines : promising scaffolds for anticancer drugs. *Bioorganic and Medicinal Chemistry*, 22 (1), 46–53. <https://doi.org/10.1016/j.bmc.2013.11.040>
- Jarosinski, M. A., Reddy, P. S., Anderson, W. K. (1993). Synthesis, chemical reactivity, and antitumor evaluation of congeners of carmethizole hydrochloride, an experimental acylated vinylogous carbinolamine tumor inhibitor. *Journal of Medicinal Chemistry*, 36 (23), 3618–3627. <https://doi.org/10.1021/jm00075a017>
- Atwell, G. J., Fan, J.-Y., Tan, K. & Denny, W. (1998). DNA-directed alkylating agents. 7. Synthesis, DNA interaction, and antitumor activity of bis(hydroxymethyl)- and bis(carbamate)-substituted pyrrolizines and imidazoles. *Journal of Medicinal Chemistry*, 41, 4744–4754. <https://doi.org/10.1021/jm9803119>
- Liedtke, A. J., Keck, P. R. W. E. F., Lehmann, F., Koeberle, A., Werz, O., Laufer, S. A. (2009). Arylpyrrolizines as inhibitors of microsomal prostaglandin E2 synthase-1 (mPGES-1) or as dual inhibitors of mPGES-1 and 5-lipoxygenase (5-LOX). *Journal of Medicinal Chemistry*, 52 (15), 4968–4972. <https://doi.org/10.1021/jm900481c>
- Laufer, S. A., Augustin, J., Dannhardt, G., Kiefer, W. (1994). (6,7-Diaryldihydropyrrolizin-5-yl)acetic acids, a novel class of potent dual inhibitors of both cyclooxygenase and 5-lipoxygenase. *Journal of Medicinal Chemistry*, 37 (12), 1894–1897. <https://doi.org/10.1021/jm00038a021>
- Abbas, S. E., Awadallah, F. M., Ibrahim, Gouda, A. M. (2010). Novel substituted and fused pyrrolizine derivatives : synthesis, anti-inflammatory and ulcerogenecity studies. *European Journal of Medicinal Chemistry*, 45 (2), 482–491. <https://doi.org/10.1016/j.ejmech.2009.10.031>
- Barsoum, F. F. (2011). Synthesis and molecular modeling studies of anti-inflammatory active 1H-pyrrolizine-5-carboxamides. *Archiv der Pharmazie*, 344 (1), 56–65. <https://doi.org/10.1002/ardp.201000166>
- Yu, H., Wang, F., Zhang, S. F. (2003). Synthesis of 5-aryl-1,2-dihydro-1-pyrrolizones. *Chinese Chemical Letters*, 14 (6), 565–568.
- Rithiwigrom, T., Nash, R. J. & Pyne, S. G. (2010). Synthesis of polyhydroxylated pyrrolizidine and indolizidine compounds and their glycosidase inhibitory activities. *Tetrahedron*, 66 (48), 9340–9347. <https://doi.org/10.1016/j.tet.2010.10.008>
- Rault, S., Lancelot, J. C., Bouyazza, L., Robba, M., Quermonne, M. A., Nammathao, B., Louchahi-Raoul, J. & Marcy, R. (1991). Synthesis and preliminary study of psychotropic effect of alkylamino and iminopyrrolo[1,2-a]indoles. *European Journal of Medicinal Chemistry*, 26, 939–946. [https://doi.org/10.1016/0223-5234\(91\)90136-b](https://doi.org/10.1016/0223-5234(91)90136-b)
- Buechter, D. D., Thurston, D. E. (1987). Studies on the pyrrolizidine antitumor agent, clazamycin: interconversion of clazamycins A and B. *Journal of Natural Products*, 50 (3), 360–367. <https://doi.org/10.1021/np50051a004>
- Wang, J., Sánchez-Roselló, M., Aceña, J. L., del Pozo, C., Sorochinsky, A. E., Fustero, S., ... Liu, H. (2013). Fluorine in Pharmaceutical Industry : Fluorine-Containing Drugs Introduced to the Market in the Last Decade (2001–2011). *Chemical Reviews*, 114 (4), 2432–2506. <https://doi.org/10.1021/cr4002879>
- Schierlinger, C., Burger, K. (1992). Peptide modification by introduction of α-trifluoromethyl α-amino acids via 4-trifluoromethyl-1,3-oxazolidin-2,5-diones. *Tetrahedron Letters*, 33 (2), 193–194. [https://doi.org/10.1016/0040-4039\(92\)88047-9](https://doi.org/10.1016/0040-4039(92)88047-9)
- Iyer, R. P., Yu, D., Ho, N.-H., Tan, W., & Agrawal, S. (1995). A novel nucleoside phosphoramidite synthon derived from 1R, 2S-ephedrine. *Tetrahedron: Asymmetry*, 6 (5), 1051–1054. [https://doi.org/10.1016/0957-4166\(95\)00122-6](https://doi.org/10.1016/0957-4166(95)00122-6)
- Chandra Sheker Reddy, A., Shanthan Rao, P., Venkataratnam, R. (1997). Fluoro organics : facile syntheses of novel 2- or 4-trifluoromethyl-1H-arylo-1,5-diazepines, oxazepines, thiazepines, 2-(1,1,1-trifluoroacetylony)imidazoles, oxazoles and thiazoles. *Tetrahedron*, 53 (16), 5847–5854. [https://doi.org/10.1016/s0040-4020\(97\)00244-5](https://doi.org/10.1016/s0040-4020(97)00244-5)
- Kawase, M., Niwa, M., Nozaki, M. & Motonashi, N. (1998). Synthesis of 2-trifluoromethyl-2,3,4,5-tetrahydro-1H-3-benzazepine derivatives. *Heterocycles*, 48 (3), 555–560. <https://doi.org/10.3987/com-97-8090>
- Kalantri, M., Reza Islami, M., Hassani, Z. & Saidi, K. (2006). Synthesis of dimethyl 1-(trifluoromethyl)-3-pyrrolizine-2,3-dicarboxylate using phosphorus compounds. *Arkivoc*, X, 55–62. <https://doi.org/10.3998/ark.5550190.0007.a07>
- Semenov, V. V., Zolotareva, N. V., Dolgonosova, A. Y. (2009). Oligomerization in the reaction of acetylacetone with organic diisocyanates. *Russian Journal of Organic Chemistry*, 45 (6), 936–938. <https://doi.org/10.1134/s1070428009060232>
- Sonnet, P., Dallemagne, P., Guillou, J., Enguehard, C., Stiebing, S., Tanguy, J., ... Séralini, G.-E. (2000). New aromatase inhibitors. Synthesis and biological activity of aryl-substituted pyrrolizidine and indolizine derivatives. *Bioorganic & Medicinal Chemistry*, 8 (5), 945–955. [https://doi.org/10.1016/s0968-0896\(00\)00024-9](https://doi.org/10.1016/s0968-0896(00)00024-9)
- Belloir, P. F., Laurent, A., Mison, P., Lesniak, S., & Bartnik, R. (1986). A New Approach to the Synthesis of Pyrrolizines: A One-pot Procedure from 2H-Pyrroles. *Synthesis*, 1986 (08), 683–686. <https://doi.org/10.1055/s-1986-31750>
- Pinho e Melo, T. M. V. D., Soares, M. I. L., Paixão, J. A., Beja, A. M., Silva, M. R., Alte da Veiga, L., & Pessoa, J. C. (2002). Synthesis of Chiral Pyrrolo[1,2-c]thiazoles via Intramolecular Dipolar Cycloaddition of Münchnones : An Interesting Rearrangement to Pyrrolo[1,2-c]thiazines. *The Journal of Organic Chemistry*, 67 (12), 4045–4054. <https://doi.org/10.1021/jo010807p>
- Yavari, I., Adib, M. (2001). Efficient synthesis of 5,6,7-trisubstituted 1H-pyrrolizines. *Tetrahedron*, 57 (27), 5873–5878. [https://doi.org/10.1016/s0040-4020\(01\)00525-7](https://doi.org/10.1016/s0040-4020(01)00525-7)
- Tasgin, D. I., Unaleroğlu, C. (2016). Ring annulation versus alkylation of pyrrole with α-phosphoryl-α,β-unsaturated ketones. *Tetrahedron*, 72 (39), 5934–5942. <https://doi.org/10.1016/j.tet.2016.08.045>
- Campbell, S. E., Comer, M. C., Derbyshire, P. A., Despinoy, X. L. M., McNab, H., Morrison, R., ... Thornley, C. (1997). Synthesis of pyrrolizin-3-ones by flash vacuum pyrolysis of pyrrol-2-ylmethylidene Meldrum's acid derivatives and 3-(pyrrol-2-yl)propenoic esters. *Journal of the Chemical Society, Perkin Transactions 1*, (15), 2195–2202. <https://doi.org/10.1039/a701749i>
- Unaleroğlu, C., Tasgin, D., Aytac, S., & Temelli, B. (2009). An Efficient Synthetic Route for Pyrrolizinone Synthesis through Functionalized C-Alkylpyrroles. *Synthesis*, 2009 (19), 3243–3250. <https://doi.org/10.1055/s-0029-1216951>
- Tasgin, D. I., Unaleroğlu, C. (2013). Michael addition of N-heteroaromatics to vinylphosphonates and synthesis of phosphoryl pyrrolizones by cyclization of Michael adducts. *Synthesis*, 45 (02), 193–198. <https://doi.org/10.1055/s-0032-1317894>
- Byers, J. H., DeWitt, A., Nasveschuk, C. G., & Swigor, J. E. (2004). Tandem radical-electrophilic annulations to pyrrole. *Tetrahedron Letters*, 45 (35), 6587–6590. <https://doi.org/10.1016/j.tetlet.2004.07.037>
- Unaleroğlu, C., Yazıcı, A. (2007). Gadolinium triflate catalyzed alkylation of pyrroles : efficient synthesis of 3-oxo-2,3-dihydro-1H-pyrrolizine derivatives. *Tetrahedron*, 63 (25), 5608–5613. <https://doi.org/10.1016/j.tet.2007.04.018>
- Clauson-Kaas, N., Tyle, Z., Rottenberg, M., Stenhammar, E., & Östling, S. (1952). Preparation of Cis- and Trans 2,5-Dimethoxy-2-(acetamidomethyl)-2,5-dihydrofuran, of Cis- and Trans 2,5-Dimethoxy-2-(acetamidomethyl)-tetrahydrofuran and of 1-Phenyl-2-(acetamidomethyl)-pyrrole. *Acta Chemica Scandinavica*, 6, 667–670. <https://doi.org/10.3891/acta.chem.scand.06-0667>
- Elming, N., Clauson-Kaas, N., Rottenberg, M., Stenhammar, E., & Östling, S. (1952). The Preparation of Pyrroles from Furans. *Acta Chemica Scandinavica*, 6, 867–874. <https://doi.org/10.3891/acta.chem.scand.06-0867>
- Kolicheva, M. E., Gerus, I. I., Yagupolskiy, Yu. L. & Kuchar, V. P. (1991). *Zhurnal organicheskoy chimii*, 27 (1), 117–121.
- Jefford, C. W., Sienkiewicz, K., Thornton, S. R. (1995). Short, enantiospecific syntheses of indolizidines 209 B and 209 D, and piclavine a from diethyl-L-Glutamate. *Helvetica Chimica Acta*, 78 (6), 1511–1524. <https://doi.org/10.1002/hlca.19950780610>

Надійшла до редакції 21.01.2019 р.